

7. Подстригач Я. С. Температурное поле в системе твердых тел, сопряженных с помощью тонкого промежуточного слоя.— ИФЖ, 1963, 6, № 10, с. 129—136.
8. Подстригач Я. С., Воробец Б. С., Чернуха Ю. А. К термоупругой задаче для тел с включениями.— Прикл. механика, 1972, 8, № 12, с. 80—85.
9. Подстригач Я. С., Караванский О. В. К расчету температурных полей в тонкостенных ребристых элементах конструкций.— В кн.: Исследования по теплопроводности. Минск, 1967, с. 454—465.
10. Подстригач Я. С., Войтович Н. И., Чернуха Ю. А. Температурные поля криволинейных стержней и подкрепленных оболочек.— Мат. методы и физ.-мех. поля, 1976, вып. 3, с. 15—20.
11. Подстригач Я. С., Чернуха Ю. А. Условия теплообмена на подкрепленном крае многослойной оболочки.— Мат. мет. и физ.-мех. поля, 1977, вып. 6, с. 7—9.
12. Подстригач Я. С., Чернуха Ю. А. Об уравнениях теплопроводности для тонкостенных элементов конструкций.— В кн.: Теория оболочек и пластин. Л., 1975, с. 82—85.

Львовский филиал математической физики  
Института математики АН УССР

Поступила в редколлегию  
24.IX 1976 г.

УДК 539.3

Б. Л. Пелех

### КОНТАКТНЫЕ ЗАДАЧИ ДЛЯ УПРУГИХ ТОНКОСТЕННЫХ ЭЛЕМЕНТОВ С УЧЕТОМ МИКРОСТРУКТУРЫ ПОВЕРХНОСТНЫХ СЛОЕВ

В последнее время возник интерес к контактнм задачам для тонкостенных элементов (стержней, пластин, оболочек). Имеются в виду следующие классы задач: о взаимодействии упругих тонких элементов с твердыми жесткими телами (штампами, подкрепляющими бандажами, ребрами жесткости), о упругом контакте оболочек и пластин между собой, о сопряжении континуумов разных измерений (оболочка либо пластинка — массивное упругое тело). Такие задачи принято называть нетрадиционными в том смысле, что известные допущения Герца о малости области контакта в рамках трехмерной постановки проблемы здесь неприменимы [1, 11].

К указанным классам задач сводятся также задачи о напряженном состоянии тел с упругими покрытиями, наносимыми на поверхность деталей для увеличения долговечности и защиты их от коррозии. Фундаментальные результаты в этом направлении с учетом диффузионных процессов в системе тело — покрытие получены Я. С. Подстригачем и его учениками [9, 10].

В работах [2, 3, 7] установлено, что результат решения контактных задач рассматриваемых классов качественно зависит от выбора кинематических и статических моделей, описывающих состояние тонкостенных элементов. В частности, применение классических гипотез Кирхгофа — Лява приводит к результатам, противоречащим физической сущности задач [5, 6].

Обсудим возможности новых постановок и решений контактных задач указанных классов с учетом предположения о наличии в зонах контактирующих тел промежуточных поверхностных слоев\*, свойства которых отличаются от свойств элементов, находящихся в упругом контакте, и покажем, что введение таких слоев в некотором случае эквивалентно обобщениям моделей состояния упругих элементов.

1. **Постановка задачи.** Рассмотрим взаимодействие твердых жестких тел с упругими элементами, как свободными, так и связанными с массивными упругими телами (основаниями). Будем считать, что верхний слой упругого элемента, находящийся в контакте с твердым телом, обладает особыми

\* В рамках трехмерной постановки впервые обобщение контактных задач на случай наличия слоев, отображающих деформации реальных микронеровностей поверхности контактирующих тел, дано в работе [13].

свойствами, отличными от свойств самого элемента (эти свойства будут определены ниже). Предположение о наличии таких слоев оправдано в связи с особенностями микроструктуры поверхностных слоев [13].

Перейдем к математическому описанию состояния составляющих сложной системы тонкий упругий элемент (оболочка, пластинка, стержень) — поверхностный слой — упругое тело и постановке граничных условий.

*Тонкостенный элемент.* Напряженно-деформированное состояние упругих тонких элементов будем описывать классической теорией Кирхгофа—Лява либо обобщенной теорией с учетом деформаций трансверсального сдвига (теорией типа Тимошенко). В первом случае для оболочки записываем разрешающие уравнения вида

$$L_{1j}^{(кл)} u_j + L_1^{(кл)} u_2 + L_{13}^{(кл)} u_3 + L^{(кл)} \theta_1 = q_1 - p_1, \quad (1)$$

а во втором — уравнения

$$L_{1j} u_j + L_{2j} u_2 + L_{3j} u_3 + L_4 \gamma_1 + L_5 \gamma_2 = q_1 - p_1, \quad (2)$$

где  $u_j$  ( $j = 1, 2, 3$ ) — компоненты упругого перемещения в главных направлениях  $x_j$ ,  $\gamma_j$  ( $j = 1, 2$ ) — углы поворота нормального волокна;  $q_j$ ,  $p_j$  — интенсивности нормальных и касательных контактных напряжений в зонах жесткого и упругого контакта;  $L_{ij}^{(кл)}$  ( $i, j = 1, 2, 3, 4$ ),  $L_{ij}$  ( $i, j = 1, \dots, 5$ ) — известные дифференциальные операторы классической [2] и обобщенной [4] теорий оболочек.

*Поверхностный слой.* В работе [13] к описанию состояния поверхностного слоя применяется следующая модель: считается, что его наличие приводит к дополнительному нормальному смещению в контактной зоне, которое пропорционально неизвестному контактному давлению:

$$u_3^c = kq, \quad (3)$$

где  $k$  — коэффициент податливости поверхностного слоя, зависящий от его структуры.

Введем предположение о том, что состояние поверхностного слоя описывается одним уравнением теории упругости относительно нормального к срединной поверхности слоя перемещения, а остальные перемещения могут быть приняты равными нулю. Покажем, что в простейших случаях это предположение приводит к результату (3).

*Упругое основание.* К описанию состояния последних естественно применить уравнения трехмерной теории упругости.

*Граничные условия.* Поверхности контакта слоя с твердым телом и основным упругим элементом обозначим через  $G_c^+$  и  $G_c^-$ , осадку штампа через  $\delta$  и уравнение поверхности его основания через  $f(x_j)$ . Тогда

$$u_3^c = u_3 \text{ на } G_c^-, \quad \sigma_{x_3}^c = q \text{ на } G_c^+, \quad (4)$$

$$u_3^c = \delta - f(x_j) \text{ на } G_c^+. \quad (5)$$

Задача заключается в нахождении контактных давлений между твердым телом и упругим тонким элементом, а также напряжений на границе раздела сред.

**2. Действие гладкого твердого тела на упругую полуплоскость с покрытием.** Рассмотрим плоскую задачу о действии штампа на упругое тело, представляющее полупространство с покрытием (рис. 1). В этом случае известные функции зависят лишь от одной координаты  $x_1$ . Следуя намеченному подходу, выпишем уравнения состояния элементов:

а) уравнения равновесия покрытия описываем соотношениями классической теории Кирхгофа

$$D \frac{d^2 u_3}{dx_1^2} = q_3 - p_3, \quad B \frac{d^2 u_1}{dx_1^2} = q_1 - p_1, \quad (6)$$

где  $D = \frac{2Eh^3}{3(1-\nu^2)}$ ,  $B = \frac{2Eh}{1-\nu^2}$  — жесткости на изгиб и растяжение;  $E$ ,  $\nu$  — модуль Юнга и коэффициент Пуассона покрытия;  $2h$  — толщина покрытия;

б) состояние поверхностного слоя покрытия описывается одним уравнением теории упругости

$$\frac{d^2 u_3^c}{dx_3^2} = 0, \quad (7)$$

решение которого должно удовлетворять условию

$$u_3^c = u_3 \text{ при } x_3 = h - h_c, \quad \sigma_3^c = q \text{ при } x_3 = h + h_c, \quad (8)$$

где  $h_c$  — толщина поверхностного слоя.

Найдем функцию Грина для данной задачи. Для этого рассмотрим вспомогательную задачу о действии произвольно распределенных нормальных  $q(x_1)$  и касательных  $n(x_1)$  усилий на упругую полуплоскость с покрытием. Такая задача в предположении, что контакт покрытия осуществляется по срединной линии, решена в работе [9] методом интегральных преобразований Фурье. Выражения для трансформант нормальных перемещений  $\tilde{u}_3(\lambda)$ , нормальных  $\tilde{p}(\lambda)$  и касательных  $\tilde{t}(\lambda)$  напряжений имеют вид [9]

$$\begin{aligned} \tilde{u}_3(\lambda) &= \frac{1-\nu^2}{E_0 |\lambda| D(|\lambda|)} [(g_1(\beta^2 - \alpha^2)|\lambda| + 2)\tilde{q} - \alpha \operatorname{sgn} \lambda i \tilde{n}], \\ \tilde{p}(\lambda) &= \frac{1}{D(|\lambda|)} [(g_1 \beta |\lambda| + 1)\tilde{q} + \alpha q_2 \lambda^3 i \tilde{n}], \\ \tilde{t}(\lambda) &= \frac{1}{D(|\lambda|)} [(g_2 \beta |\lambda|^3 \tilde{n} - g_1 \alpha \lambda i \tilde{q}]. \end{aligned} \quad (9)$$

Здесь ядро  $D(\lambda)$  определено формулой

$$D(|\lambda|) = g_1 g_2 (\beta^2 - \alpha^2) \lambda^4 + \beta g_2 |\lambda|^3 + g_1 \beta |\lambda| + 1$$

и введены следующие обозначения:

$$g_1 = \frac{Eh}{E_0}; \quad g_2 = \frac{Eh^3}{2E_0}; \quad \beta = \frac{2(1-\nu_0^2)}{1-\nu^2}; \quad \alpha = \frac{(1-2\nu_0)(1+\nu_0)}{1-\nu^2}.$$

Индексом «0» обозначены упругие характеристики основания (упругой полуплоскости).

Интегрируя уравнение (7), перемещение слоя получаем в виде линейной по  $x_3$  функции:

$$u_3^c = c_0 + c_1 x_3. \quad (10)$$

Подчиняя решение (10) условиям (8) для постоянных  $c_0$  и  $c_1$ , получаем

$$c_0 = u_3 - \frac{1-\nu_c^2}{E_c} (h - h_c) q, \quad c_1 = \frac{1-\nu_c^2}{E_c} q.$$

В результате функция  $u_3^c$  на  $x_3 = h$  будет такой:

$$u_3^c|_{x_3=h} = u_3 + \frac{1-\nu_c^2}{E_c} q [x_3 - (h - h_c)]. \quad (11)$$

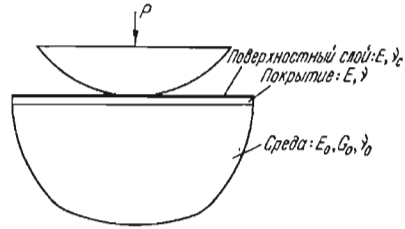


Рис. 1

Подставляя это выражение в условие (5) и учитывая выражения (9), приходим к парным интегральным уравнениям

$$\frac{1 - \nu^2}{\pi E_0} \int_0^{\infty} \frac{g_1 (\beta^2 - \alpha^2) \lambda + \beta}{\lambda D(\lambda)} q(x) \cos \lambda x d\lambda = \delta - j(x) + k q(x) \quad (|x| \leq a),$$

$$\int_0^{\infty} \tilde{q}(x) \cos \lambda x dx = 0 \quad (|x| > a).$$

Полученные уравнения можно свести к интегральному уравнению Фредгольма второго рода

$$k q(x) + \int_0^a \Omega(x, \xi) q(\xi) d\xi = F(x), \quad (13)$$

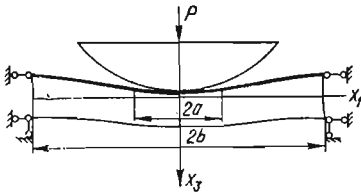


Рис. 2

где  $\Omega(x, \xi)$ ,  $F(x)$  — известные функции.

Аналогичный результат при решении такого класса задач можно получить при рассмотрении состояния пластинки по теории, учитывающей поперечный сдвиг [4].

При  $k \rightarrow 0$  из уравнения (13) получаем интегральные уравнения первого рода, т. е. качественно другой результат.

### 3. Вынужденный изгиб пластинки с учетом структуры поверхностного слоя.

Исследуем влияние поверхностной структуры на характерной задаче о вдавливании жесткого гладкого штампа в поверхность упругой трансверсально-изотропной пластинки, закрепленной по контуру (рис. 2). Такая задача в рамках теории типа Тимошенко решена в работе [5, 6] без учета микроструктуры.

Согласно общей постановке в данном случае задача состоит в нахождении решения уравнений в области контакта

$$D \frac{d^4 u_3}{dx_1^4} = q - \varepsilon \frac{d^2 q}{dx_1^2}, \quad \frac{d^2 \gamma}{dx_1^2} - \frac{1}{\varepsilon} \gamma = - \frac{1}{\varepsilon} \frac{du_3}{dx_1}, \quad (14)$$

и вне этой области ( $a \leq x_1 \leq b$ )

$$\frac{d^4 u_3}{dx_1^4} = 0, \quad (15)$$

удовлетворяющего условиям

а) непрерывности при переходе через границу области контакта при  $x_1 = a$ :

$$u_3(a-0) = u_3(a+0), \quad \gamma(a-0) = \gamma(a+0), \quad M(a-0) = M(a+0), \quad (16)$$

$$Q(a-0) = Q(a+0);$$

б) закрепления на внешнем контуре при  $x_1 = b$ :

$$u_3 = \gamma = 0, \quad Q = - \frac{P}{2}, \quad (17)$$

а также решения уравнения для промежуточного контактного слоя

$$\frac{d^2 u_3^c}{dx_1^2} = 0,$$

удовлетворяющего условиям (8) и условию безотрывного контакта (4). Выражение для нормального перемещения в слое, как и в п. 2, имеет вид

$$u_3^c = u_3 + \frac{h_c (1 - \nu_c^2)}{E_c} q [x_3 - (h - h_c)]. \quad (18)$$

Прибавив к выписанным соотношениям условие равновесия штампа

$$P = -2 \int_0^a q(x_1) dx_1,$$

получим замкнутую систему уравнений для определения неизвестного контактного давления, размера области контакта и связи между действующей силой и осадкой.

Подставляя выражения (18) в условие (4), для определения контактного давления получаем следующие уравнения четвертого порядка:

$$Dk \frac{d^4 q}{dx_1^4} - \varepsilon \frac{d^2 q}{dx_1^2} + q = D \frac{d^4 f}{dx_1^4}, \quad (19)$$



Рис. 3

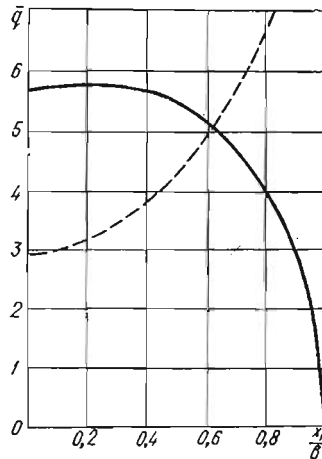


Рис. 4

или

$$\frac{d^4 q}{dx_1^4} - \frac{1}{\lambda' k} \frac{d^2 q}{dx_1^2} + \frac{1}{Dk} q = D \frac{d^4 f}{dx_1^4}, \quad (19')$$

где  $\lambda' = 2k'G'h$  — сдвиговая жесткость пластинки;  $k'$  — коэффициент сдвига.

Рассмотрим действие штампа в виде цилиндрического параболоида  $f(x_1) = Ax_1^2$ . В этом случае  $\frac{d^4 f_1}{dx_1^4} = 0$  и правая часть уравнения (19) обращается в нуль, а общее его решение с учетом симметрии задачи принимает вид

$$q = c_1 \operatorname{sh} sx_1 \operatorname{sh} rx_1 + c_2 \operatorname{ch} sx_1 \operatorname{ch} rx_1,$$

где

$$s, r = \sqrt{\frac{\lambda'^2 \pm g^2}{2}}.$$

Постоянные  $c_1$  и  $c_2$  следует находить из условий  $q(a) = 0$  и  $Q(x=0) = Q(x=a) = -\frac{P}{2}$  при  $x_1 = a$ . В результате этих действий получим

$$q = \alpha \frac{P}{2b} \left\{ \operatorname{sh} sx_1 \operatorname{sh} rx_1 - \frac{\operatorname{sh} sa \operatorname{sh} ra}{\operatorname{ch} sa \operatorname{ch} ra} \operatorname{ch} sx_1 \operatorname{ch} rx_1 \right\}. \quad (20)$$

Для сравнения приведем полученные в работе [5] соответствующие выражения для контактного давления

$$q^{(r)} = \begin{cases} \frac{b}{V\varepsilon} \operatorname{ch} \frac{x}{V\varepsilon} & (x \leq a), \\ \frac{\operatorname{sh} \frac{a}{V\varepsilon}}{\operatorname{sh} \frac{a}{V\varepsilon}} & \\ 0 & (b \geq x \geq a). \end{cases} \quad (21)$$

На рис. 3, 4 представлены графики изменения контактного давления  $\bar{q} = \frac{2bq}{p}$  вдоль области контакта в зависимости от параметров  $\frac{h}{b} = 0,1$  (рис. 3);  $0,5$  (рис. 4) и  $\frac{a}{b} = 0,8$  при  $F/G' = 2,6$ ;  $\nu = 0,25$ ;  $E/E_c = 10$ ,  $h/h_c = 8$ . Штриховые кривые соответствуют решению (21) [5, 6]. Из анализа следует, что учет микроструктуры существенен особенно в зонах, примыкающих к границам в области контакта. Отметим, что качественно к таким же результатам можно придти, используя в задачах такого класса теорию, учитывающую кроме деформаций поперечного сдвига нормальные деформации  $\epsilon_{33}$  [8].

#### ЛИТЕРАТУРА

1. Галин Л. А. Об одной задаче изгиба круглой пластинки.— ПММ, 1948, 11, № 3, с. 48—57.
2. Григолюк Э. И., Толкачев В. М. О расчете цилиндрических оболочек, нагруженных по линиям.— ПММ, 1967, 31, № 6, с. 1141—1146.
3. Григолюк Э. И., Толкачев В. М. Контактная задача для полубесконечной цилиндрической оболочки.— ПММ, 1971, 35, № 5, с. 801—809.
4. Пелех Б. Л. Теория оболочек с конечной сдвиговой жесткостью. К., «Наук. думка», 1973. 247 с.
5. Пелех Б. Л., Сысак Р. Д. Об одном классе контактных задач для анизотропных пластин из армированных пластиков.— Механика полимеров, 1972, № 4, с. 346—350.
6. Пелех Б. Л., Сысак Р. Д. Об одной контактной задаче для упругой пластинки.— ДАН УССР. Сер. А, 1972, № 2, с. 253—257.
7. Пелех Б. Л. Некоторые особенности постановки и решения контактных задач о взаимодействии упругих цилиндрических оболочек с твердыми жесткими телами.— В кн.: Избранные проблемы прикладной механики. М., 1974, с. 559—566.
8. Пелех Б. Л., Швабюк В. И. Об одном обобщении теории упругих трансверсально-изотропных пластин применительно к некоторым контактным задачам.— Сопротивление материалов, 1975, № 26, с. 87—92.
9. Подстригач Я. С., Шевчук П. Р. О влиянии поверхностных слоев на процесс диффузии и на обусловленное им напряженное состояние в твердых телах.— ФХММ, 1967, № 5, с. 573—578.
10. Подстригач Я. С. Диффузионная теория деформации твердых тел. Автореф. докт. дис. К., 1968. 28 с.
11. Филоненко-Бородич М. М. О вынужденном изгибе стержня по заданной кривой.— Труды МЭМИИТ, 1949, 58, № 41, с. 16—21.
12. Фюрей М. Дж. Поверхность раздела твердых тел и истинная площадь контакта.— В кн.: Физико-химическая механика контактного взаимодействия и фреттинг-коррозия. К., 1973, с. 9—10.
13. Штаерман И. Я. Контактная задача теории упругости. М.—Л., Гостехиздат, 1949. 270 с.
14. Шереметьев М. П. Пластинки с подкрепленным краем. Львов, Изд-во Львов. ун-та, 1962. 260 с.

Львовский филиал математической физики  
Института математики АН УССР

Поступила в редколлегию  
10.X 1976 г.

УДК 532.72 : 620.198

П. Р. Шевчук

#### МЕТОДИКА РАСЧЕТА ЭЛЕМЕНТОВ КОНСТРУКЦИЙ С ПОКРЫТИЯМИ

Успешное развитие современных отраслей народного хозяйства связано с решением одной из актуальных проблем — создания новых конструкционных материалов с наперед заданными свойствами, способными достаточно надежно работать в реальных эксплуатационных условиях (агрессивные среды, широкий диапазон изменения температур и давлений и др.). Получение материалов, обладающих целым комплексом полезных свойств, является сложной и не всегда разрешенной задачей. Во многих случаях необходимые полезные свойства можно придать широко используемым материалам